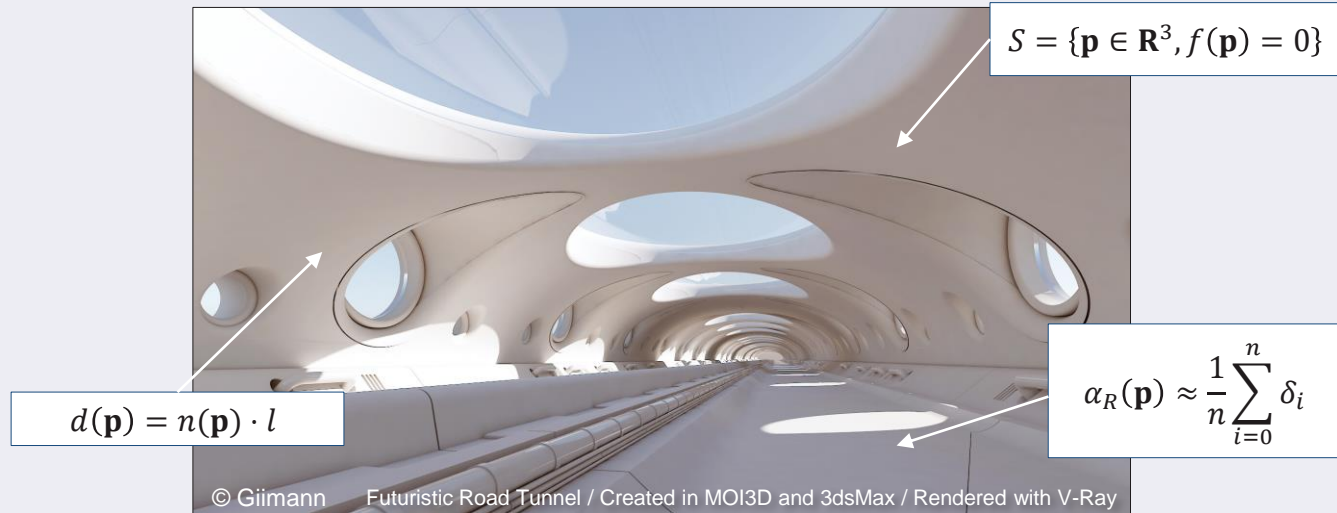


# Computer Graphics

From mathematics ...



... to the screen

E. Galin  
Université Lyon 1

# Computer Graphics

## Overview

Deformations

Curves

Surfaces

# Introduction

## Classification

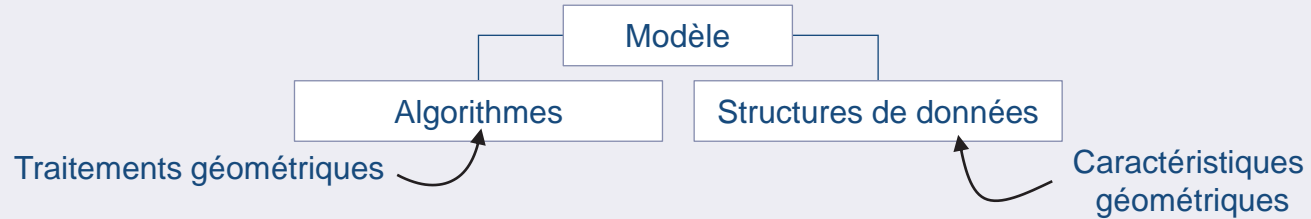
Surfaces

Volumes

Conclusion

## Modélisation géométrique

Description de la forme et des propriétés géométriques et topologiques de l'objet  
Modèles volumiques ou surfaciques



## Traitements géométriques élémentaires

Intersection avec une droite  $\Delta \cap O$  ou entre objets  $O \cap O$

Position d'un point par rapport au modèle  $p \in O$

Recherche d'un point  $p$  sur la surface  $\partial O$

Génération des triangles  $T$  approximant la surface  $\partial O$



**Surfacique**  
Surfaces paramétrées  
Subdivisions  
Maillages  
Champs de hauteur

**Volumique**  
Composition arborescente  
Enumération spatiale  
Génération par balayage  
Surfaces implicites

Il n'existe **pas** de modèle universel



eric.galin@liris.cnrs.fr  
<http://liris.cnrs.fr/~egalin>

# Introduction

## Classification

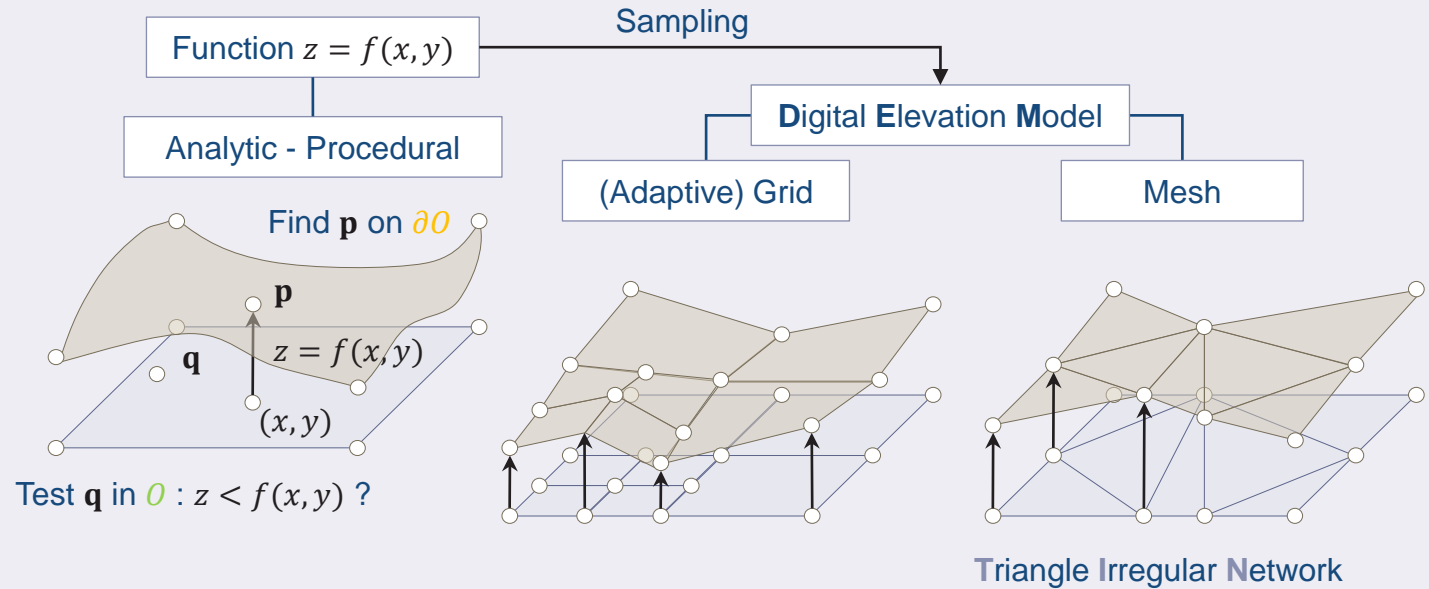
Surfaces

Volumes

Conclusion

## Modèles particuliers

Les modèles d'élévations peuvent être considérées à la fois comme surfaciques et volumiques  
Leur représentation permet d'interroger  $O$  comme  $\partial O$



# Computer Graphics

## Surface models

# Surfaces paramétrées

Classification

Surfaces

Volumes

Conclusion

## Définition

On définit  $S = \{\mathbf{p}(u, v), (u, v) \in \Omega\}$

Différents types de surfaces selon les fonctions  $\mathbf{p}(u, v)$

## Construction

$\mathbf{p}(u, v)$  est défini par des polynômes

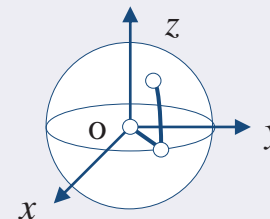
Construction à partir de points de contrôle  $\mathbf{p}_{ij}$

**Régularité** des carreaux

Génération des triangles approximant  $S$  trivial

$$\mathbf{p}(u, v) = \sum_{(i,j) \in [0,n]^2} B_i^n(u) B_j^n(v) \mathbf{p}_{ij}$$

$$\mathbf{p}(u, v) = (u^3 \ u^2 \ u \ 1) \mathbf{M} [\mathbf{p}_{ij}] (v^3 \ v^2 \ v \ 1)^t$$



Sphère paramétrée

$$\mathbf{p}(\theta, \varphi) = (\cos \theta \cos \varphi, \sin \theta \cos \varphi, \sin \varphi)$$
$$(\theta, \varphi) \in [0, 2\pi] \times [-\pi/2, \pi/2]$$



eric.galin@liris.cnrs.fr  
<http://liris.cnrs.fr/~egalain>

# Maillages géométriques

Classification

Surfaces

Volumes

Conclusion

## Maillages triangulaires

Géométrie  $G$  : sommets  $\mathbf{p}$  et normales  $\mathbf{n}$  ← Coordonnées  $\in \mathbb{R}^3$

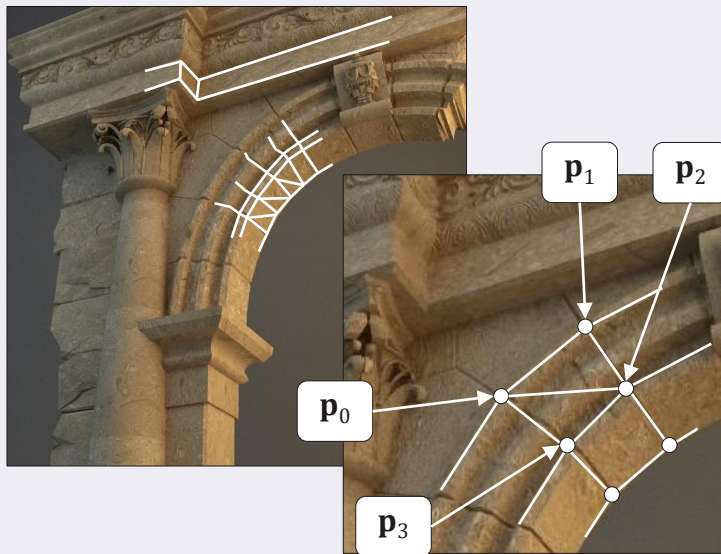
Topologie  $T$  : connectivité entre sommets, arêtes, faces

Master

## Structure minimale

Sommets connectés en triangles :  $T$  fixe

Triplets  $\{a, b, c\}$  ou double triplet  $\{a, n_a, b, n_b, c, n_c\}$  pour chaque triangle ← Indices entiers  $\in \mathbb{N}$



Géométrie  $G$

Topologie  $T$

$\mathbf{p}_0$

0 3 2

$\mathbf{p}_1$

1 0 2

$\mathbf{p}_2$

$\mathbf{p}_3$

```
class Mesh {  
    std::vector<Vector> p ;           // Vertexes  
    std::vector<int> t ;             // Indexes  
};
```

# Surfaces de subdivision

Classification

Surfaces

Volumes

Conclusion

## Modélisation

Création d'une surface (à la limite  $S_\infty$  lisse) à partir d'un squelette maillé de contrôle  $S_0$

$$S_n = \phi \circ \dots \circ \phi(S_0)$$

Le nombre de triangles croit de manière géométrique

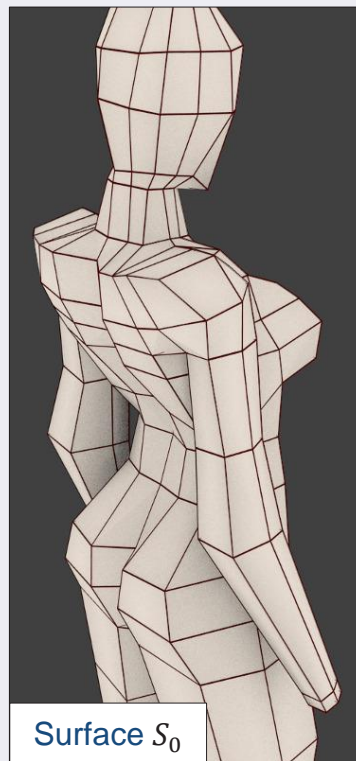
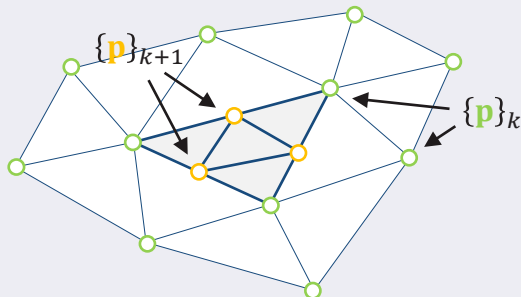
$$\#S_n = s^n \#S_0$$

$s = 4$  pour Loop       $n \approx 4$  suffit souvent

## Subdivision dyadique

Un triangle de  $S_k$  se décompose en 4 triangles de  $S_{k+1}$

Coordonnées de  $\{\mathbf{p}\}_{k+1}$  fonction des parents  $\{\mathbf{p}\}_k$



Surface  $S_0$



$\phi^2(S_0) = S_2$



# Surfaces de subdivision

Classification

Surfaces

Volumes

Conclusion

## Schémas de raffinement de maillage

Les schémas d'interpolation préservent les  $\{p\}_k$

Les schémas d'approximation modifient les coordonnées de  $\{p\}_k$  à chaque subdivision

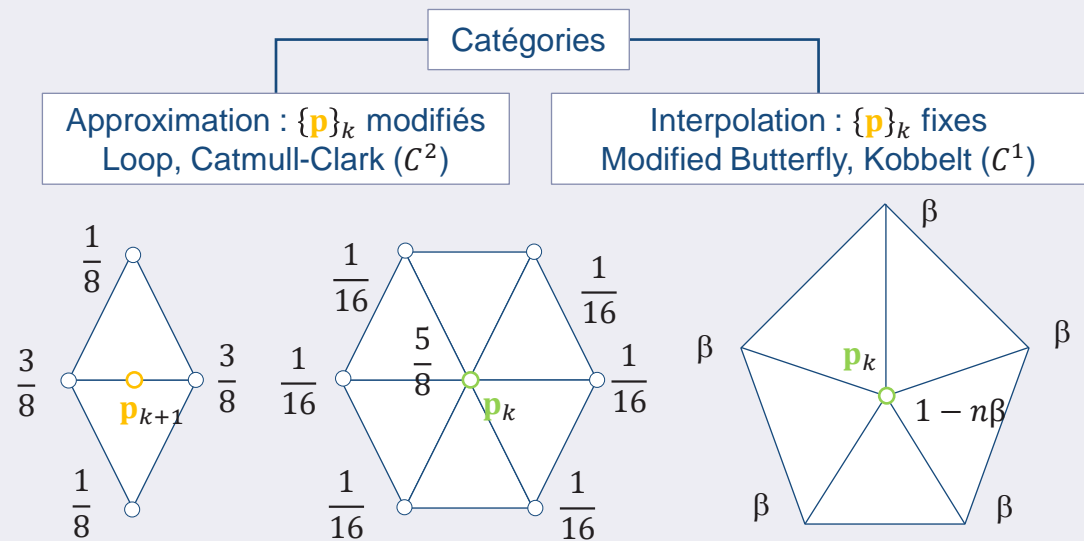


Schéma de Loop

E. Catmull and J. Clark. Recursively generated B-Spline surfaces on arbitrary topological meshes. *Computer Aided Design*, 10(6):350–355, 1978.



eric.galin@liris.cnrs.fr  
<http://liris.cnrs.fr/~egalin>

# Comparaison

Classification

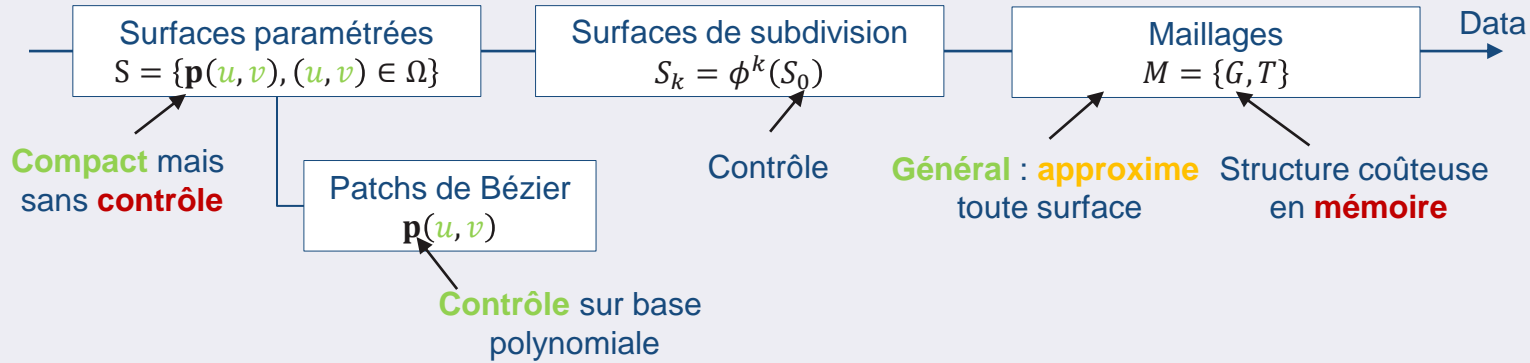
Surfaces

Volumes

Conclusion

## Analyse

Compromis entre contrôle, compacité, flexibilité



eric.galin@liris.cnrs.fr  
<http://liris.cnrs.fr/~egalin>

# Computer Graphics

## Volumetric models

# Enumération spatiale

Classification

Surfaces

Volumes

Conclusion

## Structure régulière

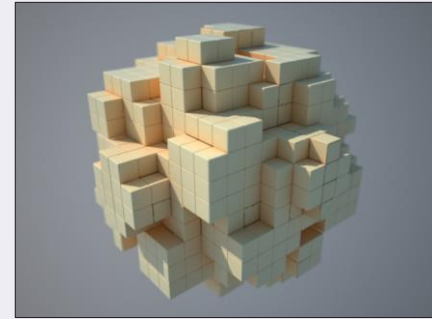
Subdivision de l'espace en grille régulière  
Stockage du type de matériau dans les cellules

$$V = \cup C_{ijk}$$

Union de cellules cubiques

Coût :  $O(n^3)$  cellules, accès efficace en  $O(1)$

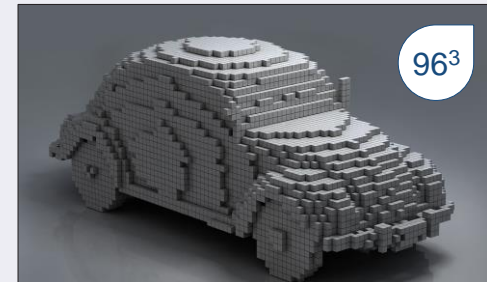
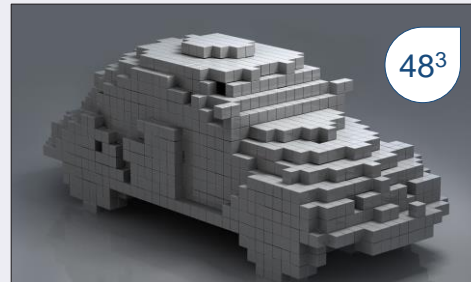
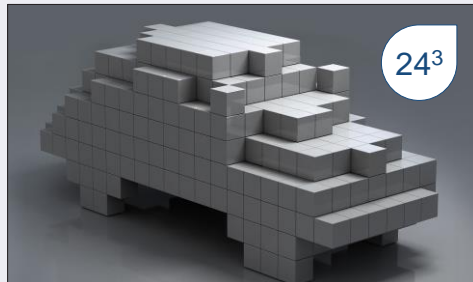
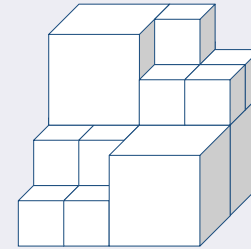
Traitements locaux efficaces, coûteux sur l'ensemble du modèle



## Améliorations

Compression des données : redondances et motifs fréquents

Structure adaptative : octrees et sparse voxel octrees



S. Laine, T.Karras. Efficient sparse voxel octrees. *IEEE Transactions on Visualization and Computer Graphics* 17(8), 2011.  
V. Kampe, E. Sintorn, U. Assarsson. High Resolution Sparse Voxel DAGs. *Proceeding of Siggraph*, 2013.



eric.galin@liris.cnrs.fr  
<http://liris.cnrs.fr/~egalin>

# Construction arborescente

Classification

Surfaces

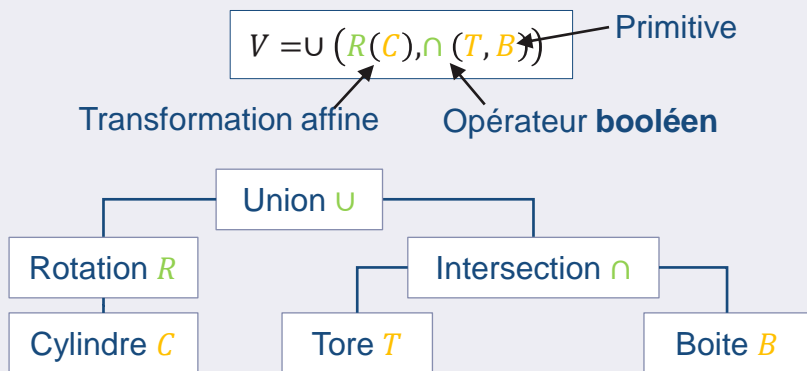
Volumes

Conclusion

## Structure

Arbre de construction **hiérarchique**

Primitives aux feuilles sont combinées par des opérateurs



## Modèles dérivés

Unions de sphères : opérateurs union  $U$  et primitives sphères  $S$  uniquement



eric.galin@liris.cnrs.fr  
<http://liris.cnrs.fr/~egalain>

# Construction arborescente

Classification

Surfaces

Volumes

Conclusion

## Requêtes

Position d'un point par rapport au modèle  $\mathbf{p} \in O$   
Descente récursive de l'arbre jusqu'aux feuilles

Inside  $(\mathbf{p}, N)$  : Test if  $\mathbf{p}$  inside a node  $N$   
If  $N$  is a leaf then  
    Test the primitive, e.g. a sphere :  $\|\mathbf{p} - \mathbf{c}\| < r$   
Else if  $N$  is a Union node  
    Test Inside  $(\mathbf{p}, N \rightarrow L(\mathbf{p}))$  or Inside  $(\mathbf{p}, N \rightarrow R(\mathbf{p}))$   
Else if  $N$  is a transformation  
    Compute Inside  $(\mathbf{p}, N \rightarrow C(T^{-1}(\mathbf{p})))$

Union  $\mathbf{p} \in A \cup B$  si  $\mathbf{p} \in A$  et  $\mathbf{p} \in B$

Récursion

Sphère  $\mathbf{p} \in S$  si  $\|\mathbf{p} - \mathbf{c}\| < r$

Test terminal

Transformation

$\mathbf{p} \in T(A)$  si  $T^{-1}(\mathbf{p}) \in A$

Récursion avec la transformation inverse



eric.galin@liris.cnrs.fr  
<http://liris.cnrs.fr/~egalain>

# Surfaces Implicites

Classification

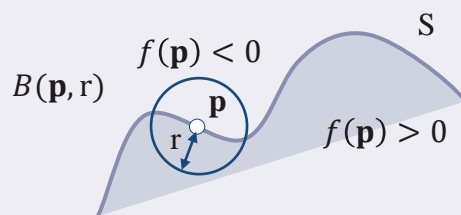
Surfaces

Volumes

Conclusion

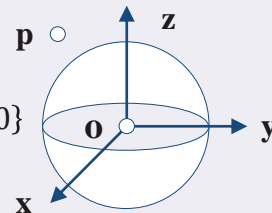
## Définition

On définit  $S = \{\mathbf{p} \in \mathbf{R}^3 \mid f(\mathbf{p}) = 0\}$



## Sphère implicite

$$S = \{(x, y, z) \in \mathbf{R}^3 \mid 1 - x^2 - y^2 - z^2 = 0\}$$



## Propriétés

Modélisation de formes lisses (raccordement)

Objets de topologie variable

Visualisation complexe

## Catégories

Surfaces implicites à squelettes

Surfaces variationnelles (nuages de points)



B. Wyvill, A. Guy and E. Galin. Extending the CSG Tree (Warping, Blending and Boolean Operations in an Implicit Surface Modeling System). *Computer Graphics Forum*, **18** (2), 149-158, 1999.



eric.galin@liris.cnrs.fr  
<http://liris.cnrs.fr/~egalain>

# Comparaison

Classification

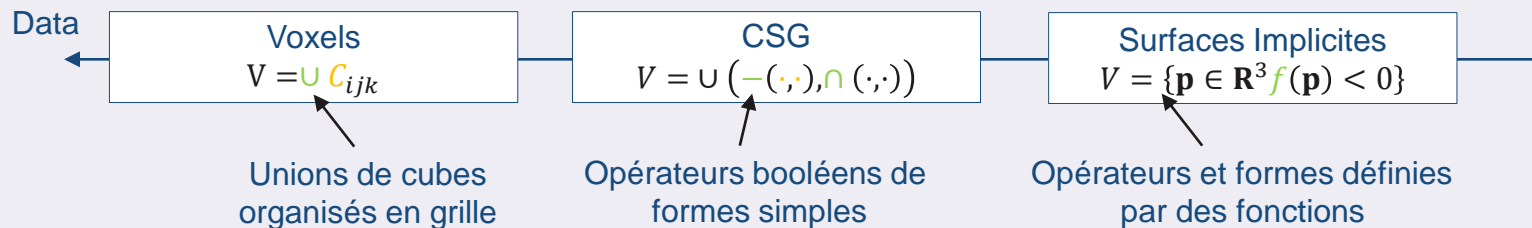
Surfaces

Volumes

Conclusion

## Analyse

Compromis entre contrôle, compacité, flexibilité



eric.galin@liris.cnrs.fr  
<http://liris.cnrs.fr/~egalin>



# Computer Graphics

## Conclusion